

М. И. РАЗУМИХИН, Р. М. БЕЛЯШЁВ, Ю. И. БОЛОТИН

ОПРЕДЕЛЕНИЕ НАПРЯЖЕННО-ДЕФОРМИРОВАННОГО СОСТОЯНИЯ ФЛАНЦА ЗАГОТОВКИ НА ВТОРЫХ ПЕРЕХОДАХ РЕВЕРСИВНОЙ ШТАМПОВКИ-ВЫТЯЖКИ

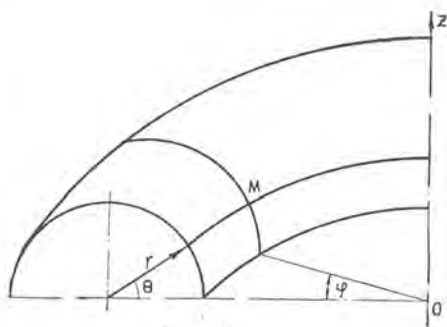
Предложенная Ю. Н. Алексеевым [1] схема решения задач вязко-пластического течения металлов дает возможность исследовать напряженно-деформированное состояние материала заготовки при реверсивной штамповке-вытяжке на вторых переходах. Поскольку протяжное ребро при реверсивной вытяжке представляет собой правильный полутор, задача решается в тороидальной системе координат (фиг. 1).

Принимая за криволинейные координаты r ; Θ ; φ , получим связь тороидальных координат с декартовыми:

$$\begin{aligned} x &= (a - r \cos \Theta) \cos \varphi; \\ y &= (a - r \cos \Theta) \sin \varphi; \quad (1) \\ z &= r \cdot \sin \Theta. \end{aligned}$$

Определим коэффициенты Ламэ:

$$\begin{aligned} H_r &= 1; \quad H_\Theta = r; \\ H_\varphi &= a - r \cos \Theta. \quad (2) \end{aligned}$$



Фиг. 1.

Основываясь на симметрии течения, введем следующие допущения:

1. силы трения между протяжным ребром и заготовкой, а также между заготовкой и прижимом отсутствуют;
2. силами веса и инерции заготовки пренебрегаем;
3. изменение толщины материала заготовки в процессе вытяжки не происходит;
4. скорости по толщине заготовки не меняются;
5. в процессе осесимметричной вытяжки касательная скорость V_θ зависит только от координаты θ , а радиальная и окружная отсутствуют.

$$V_r = 0; \quad V_\theta = V_\theta(\theta); \quad V_\varphi = 0. \quad (3)$$

Тогда уравнение неразрывности в тороидальной системе координат с учетом (3) запишется:

$$\frac{\partial}{\partial \theta} [V_\theta (a - r \cos \theta)] = 0. \quad (4)$$

Решением его будет функция

$$V_\theta = \frac{C}{a - r \cos \theta}. \quad (5)$$

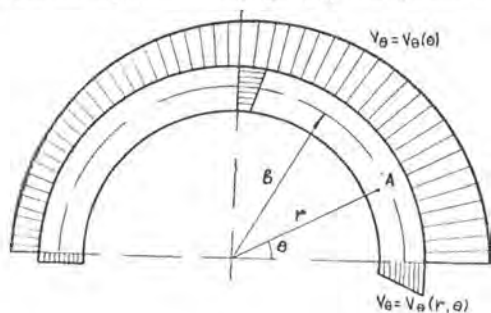
Используя граничное условие:

$$\theta = 180^\circ, \quad V_\theta = -V_0, \quad (6)$$

получим значение касательной скорости

$$V_\theta = \frac{-V_0 (a + r)}{a - r \cos \theta}. \quad (7)$$

На фиг. 2 представлена диаграмма распределения скоростей по протяжному ребру матрицы и по толщине заготовки.



Фиг. 2.

Четвертое допущение позволяет записать выражение (7) в следующем виде:

$$V_\theta = \frac{-V_0 (a + b)}{a - b \cos \theta}, \quad (8)$$

а коэффициенты Ламэ

$$H_r = 1; \quad H_\theta = b; \quad H_\varphi = a - b \cos \theta. \quad (9)$$

Такая запись дает возможность довольно

просто получить поле напряжений и деформаций.

В тороидальной системе координат для определения скоростей деформации частиц имеем формулы:

$$\begin{aligned}
 \varepsilon_{rr} &= 0; & \varepsilon_{r\theta} &= 0; \\
 \varepsilon_{\theta\theta} &= \frac{1}{H_0} \frac{\partial V_0}{\partial \theta}; & \varepsilon_{\theta\varphi} &= 0; \\
 \varepsilon_{\varphi\varphi} &= \frac{V_0}{H_0 H_\varphi} \frac{\partial H_\varphi}{\partial \theta}; & \varepsilon_{\varphi r} &= 0.
 \end{aligned} \tag{10}$$

С учетом (8) и (9) они напишутся:

$$\begin{aligned}
 \varepsilon_{rr} &= 0; & \varepsilon_{r\theta} &= 0 \\
 \varepsilon_{\theta\theta} &= \frac{V_0 (a+b) \sin \theta}{(a-b \cos \theta)^2}; & \varepsilon_{\theta\varphi} &= 0; \\
 \varepsilon_{\varphi\varphi} &= -\frac{V_0 (a+b) \sin \theta}{(a-b \cos \theta)^2}; & \varepsilon_{\varphi r} &= 0.
 \end{aligned} \tag{11}$$

Тогда выражение для интенсивности скоростей деформации примет вид:

$$\varepsilon_i = \frac{2}{\sqrt{3}} \frac{V_0 (a+b) \sin \theta}{(a-b \cos \theta)^2}. \tag{12}$$

Допустим, что материал заготовки обладает идеально пластическими свойствами, т. е.:

$$\sigma_i = \sigma_s. \tag{13}$$

Тогда выражение для коэффициента жесткости:

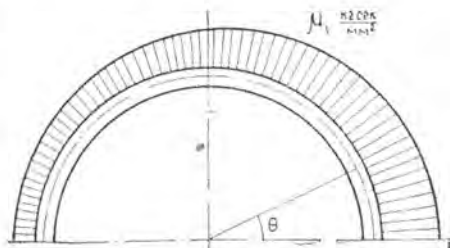
$$\mu_i = \frac{1}{3} \frac{\sigma_i}{\varepsilon_i} \tag{14}$$

с учетом (12) и (13) запишется:

$$\mu_i = \frac{\sigma_s (a-b \cos \theta)^2}{2 \sqrt{3} V_0 (a+b) \sin \theta}. \tag{15}$$

На фиг. 3 представлено изменение коэффициента жесткости в зависимости от текущей координаты θ точки.

Распишем уравнение движения частиц металла фланца заготовки на протяжном ребре матрицы. Их наиболее общая форма записи в криволинейных ортогональных координатах дана в работе [2].



Фиг. 3.

С учетом (8) и (9) они примут вид:

$$\begin{aligned} -\frac{\partial \sigma}{\partial r} &= 0; \\ -\frac{\partial \sigma}{\partial r} &= \frac{2 V_0 (a+b)}{(a-b \cos \Theta)^2} \left(\sin \Theta \frac{\partial \mu_i}{\partial \Theta} + \mu_i \cos \Theta \right); \\ -\frac{\partial \sigma}{\partial \varphi} &= 0. \end{aligned} \quad (16)$$

Подставив во второе уравнение (16) выражение (15), получим:

$$-\frac{\partial \sigma}{\partial \Theta} = \frac{2\sigma_s}{\sqrt{3}} \frac{b \sin \Theta}{a - b \cos \Theta}. \quad (17)$$

Его интеграл

$$-\sigma = \frac{2\sigma_s}{\sqrt{3}} \ln | a - b \cos \Theta | + C. \quad (18)$$

Постоянную интегрирования C найдем из граничного условия для касательного напряжения, выражение для которого через среднее напряжение σ имеет вид:

$$\sigma_{\theta\theta} = \sigma + 2\mu_i \varepsilon_{\theta\theta}. \quad (19)$$

Принимая при $\Theta = 180^\circ$ $\sigma_{\theta\theta} = 0$, получим:

$$C = -\frac{2\sigma_s}{\sqrt{3}} \ln | a + b | - \frac{\sigma_s}{\sqrt{3}}, \quad (20)$$

а выражение для среднего напряжения запишется:

$$\sigma = \frac{2\sigma_s}{\sqrt{3}} \ln \left| \frac{a+b}{a-b \cos \Theta} \right| - \frac{\sigma_s}{\sqrt{3}}. \quad (21)$$

Расписывая выражения для остальных компонентов поля напряжений, представленных уравнениями:

$$\begin{aligned} \sigma_{\varphi\varphi} &= \sigma + 2\mu_i \varepsilon_{\varphi\varphi}; \\ \sigma_{rr} &= \sigma + 2\mu_i \varepsilon_{rr}, \end{aligned} \quad (22)$$

получим окончательно:

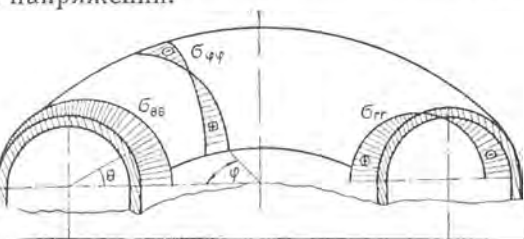
$$\begin{aligned} \sigma_{\theta\theta} &= \frac{2\sigma_s}{\sqrt{3}} \ln \left| \frac{a+b}{a-b \cos \Theta} \right|; \\ \sigma_{\varphi\varphi} &= \frac{2\sigma_s}{\sqrt{3}} \ln \left| \frac{a+b}{a-b \cos \Theta} \right| - \frac{2\sigma_s}{\sqrt{3}}; \\ \sigma_{rr} &= \sigma. \end{aligned} \quad (23)$$

На фиг. 4 представлено распределение касательных, радиальных и окружных напряжений.

Вычислим разность между касательными и окружными напряжениями:

$$\sigma_{\theta\theta} - \sigma_{\varphi\varphi} = 2\mu_i (\varepsilon_{\theta\theta} - \varepsilon_{\varphi\varphi}). \quad (24)$$

Подставив сюда значение коэффициента жесткости (15) и скоростей деформации (11), получаем:



Фиг. 4.

Это уравнение можно переписать:

$$\sigma_{\theta\theta} - \sigma_{\varphi\varphi} = \frac{2}{\sqrt{3}} \sigma_s. \quad (25)$$

где $\beta = 1,155$.

$$\sigma_{\theta\theta} - \sigma_{\varphi\varphi} = \beta \sigma_s, \quad (26)$$

Достаточно близкие к практике значения поля напряжения можно получить, произведя учет упрочнения материала.

Введем линейную аппроксимацию диаграммы растяжения в виде:

$$\sigma_i = \sigma_s + P e_i, \quad (27)$$

где σ_s — условный предел текучести упрочненного после первого перехода материала заготовки;

P — модуль упрочнения;

e_i — интенсивность деформаций.

Связь компонентов скоростей деформации с соответствующими деформациями представляется следующими дифференциальными уравнениями:

$$\begin{aligned} \varepsilon_{rr} &= \frac{\partial e_{rr}}{\partial \vartheta} \frac{V_0}{H_0}; \\ \varepsilon_{\theta\theta} &= \frac{\partial e_{\theta\theta}}{\partial \vartheta} \frac{V_0}{H_0}; \\ \varepsilon_{\varphi\varphi} &= \frac{\partial e_{\varphi\varphi}}{\partial \vartheta} \frac{V_0}{H_0}. \end{aligned} \quad (28)$$

С учетом (9) и (11) интегралы уравнений (28) представляются выражениями:

$$\begin{aligned}
 e_{rr} &= 0; \\
 e_{\theta\theta} &= -\ln |a - b \cos \theta| + C_1; \\
 e_{\varphi\varphi} &= \ln |a - b \cos \theta| + C_2.
 \end{aligned}
 \tag{29}$$

Постоянные интегрирования найдем из условия при

$$\theta = 180^\circ; \quad e_{\theta\theta} = e_{\varphi\varphi} = 0.$$

Тогда выражения (29) примут вид:

$$\begin{aligned}
 e_{rr} &= 0; \\
 e_{\theta\theta} &= \ln \left| \frac{a+b}{a-b \cos \theta} \right|; \\
 e_{\varphi\varphi} &= -\ln \left| \frac{a+b}{a-b \cos \theta} \right|.
 \end{aligned}
 \tag{30}$$

Интенсивность деформаций

$$e_i = \frac{2}{\sqrt{3}} \ln \left| \frac{a+b}{a-b \cos \theta} \right|. \tag{31}$$

С учетом (31) выражение (27) запишется:

$$\sigma_i = \sigma_s + \frac{2}{\sqrt{3}} \Pi \ln \left| \frac{a+b}{a-b \cos \theta} \right|. \tag{32}$$

Коэффициент жесткости, представленный выражением (14), можно записать:

$$\mu_i = \frac{(a-b \cos \theta)^2}{V_0 (a+b) \sin \theta} \left[\frac{\sigma_s}{2 \sqrt{3}} + \frac{\Pi}{3} \ln \left| \frac{a+b}{a-b \cos \theta} \right| \right]. \tag{33}$$

Подставив во второе уравнение системы (16) выражение (33), получим:

$$-\frac{\partial \sigma}{\partial \theta} = \left[\frac{2\sigma_s}{\sqrt{3}} - \frac{2}{3} \Pi + \frac{4}{3} \Pi \ln \left| \frac{a+b}{a-b \cos \theta} \right| \right] \frac{b \sin \theta}{a-b \cos \theta}. \tag{34}$$

Его интеграл

$$\begin{aligned}
 -\sigma &= \frac{2\sigma_s}{\sqrt{3}} \ln |a - b \cos \theta| - \frac{2}{3} \Pi \ln |a - b \cos \theta| + \\
 &+ \frac{4}{3} \Pi \ln |a+b| \ln |a - b \cos \theta| - \frac{2}{3} \Pi \ln^2 |a - \\
 &\quad - b \cos \theta| + C.
 \end{aligned}
 \tag{35}$$

Приняв при $\theta = 180^\circ$ $\sigma_{\theta\theta} = 0$, найдем из этого условия постоянную интегрирования C , а с учетом (19), (22) и (35) получим следующее поле напряжений:

$$\begin{aligned}
\sigma_{\theta\theta} &= \frac{2\sigma_s}{\sqrt{3}} \ln \left| \frac{a+b}{a-b \cos \theta} \right| + \frac{2}{3} \Pi \ln^2 \left| \frac{a-b}{a-b \cos \theta} \right|; \\
\sigma_{rr} &= \frac{2\sigma_s}{\sqrt{3}} \ln \left| \frac{a+b}{a-b \cos \theta} \right| + \frac{2}{3} \Pi \ln^2 \left| \frac{a+b}{a-b \cos \theta} \right| - \\
&\quad - \frac{2}{3} \Pi \ln \left| \frac{a+b}{a-b \cos \theta} \right| - \frac{\sigma_s}{\sqrt{3}}; \\
\sigma_{\varphi\varphi} &= \frac{2\sigma_s}{\sqrt{3}} \ln \left| \frac{a+b}{a-b \cos \theta} \right| + \frac{2}{3} \Pi \ln^2 \left| \frac{a+b}{a-b \cos \theta} \right| - \\
&\quad - \frac{4}{3} \Pi \ln \left| \frac{a+b}{a-b \cos \theta} \right| - \frac{2\sigma_s}{\sqrt{3}}.
\end{aligned} \tag{35}$$

ВЫВОДЫ

В работе путем интегрирования дифференциальных уравнений движения Навье-Стокса, получено поле напряжений и поле деформаций при реверсивной штамповке-вытяжке листового металла на вторых переходах с учетом и без учета упрочнения.

ЛИТЕРАТУРА

1. Ю. Н. Алексеев. Вопросы пластического течения металлов. Изд. ХГУ, Харьков, 1958.
2. Н. Е. Кочин. Векторное исчисление и начало тензорного. ОНТИ, 1937.